

## О ГОРЕНИИ ЖИДКОСТИ В РЕЗЕРВУАРАХ ПРИ ИЗМЕНЕНИИ ЕЕ УРОВНЯ

E. С. Артеменко, B. И. Блинов

(Ленинград)

В работе [1], относящейся к диффузионному горению жидкости в резервуарах, установлен ряд важных закономерностей и дана более или менее полная картина механизма этого сложного явления. Работа проводилась с полными резервуарами, а практика, как правило, имеет дело с емкостями, которые частично заполнены. Кроме того, механизм горения в неполных резервуарах в известной степени отличается от механизма горения в полных резервуарах.

**Описание установки.** При выполнении работы использовались прозрачные кварцевые трубы с диаметром 15, 22, 36, 50 и 80 мм и тонкостенный цилиндрический резервуар из нержавеющей стали диаметром 150 мм. Положение уровня жидкости (авиационный бензин или изоамиловый спирт) в кварцевых трубках определялось с помощью катетометра, а в стальном резервуаре — по положению мениска в «водомерной» трубке.

Исследуемая жидкость зажигалась и через определенные промежутки времени определялось положение уровня. Термопарой, введенной в резервуар, измерялась температура  $\vartheta_r$  на поверхности жидкости.

**Результаты опытов.** Пламена исследованных жидкостей были свечущими. По мере выгорания жидкости высота пламени уменьшалась

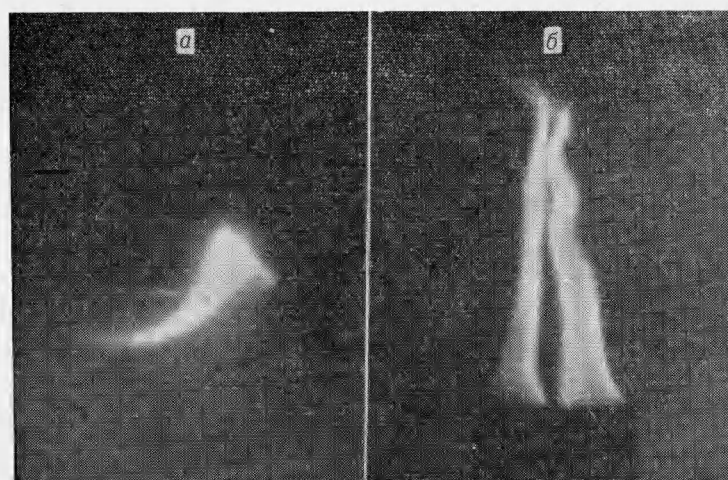


Рис. 1. Форма пламени авиабензина, сгорающего в кварцевых цилиндрических трубках диаметром 22 (а) и 80 мм (б).

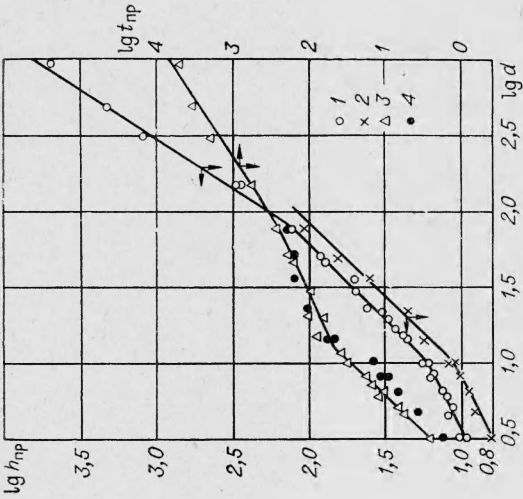


Рис. 4. Зависимость  $h_{\text{пр}}$  и  $t_{\text{пр}}$  от диаметра резервуара.  
1 —  $h_{\text{пр}}$  бензина; 2 —  $h_{\text{пр}}$  изооктана;  
3 —  $t_{\text{пр}}$  бензина; 4 —  $t_{\text{пр}}$  изооктана.

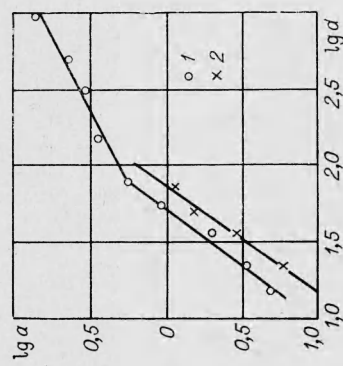


Рис. 3. Зависимость коэффициента  $a$  от диаметра резервуара.  
1 — опытные данные для бензина;  
2 — для изооктана.

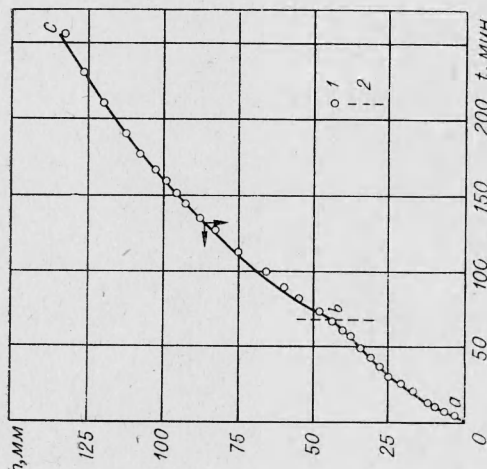


Рис. 2. Зависимость  $h$  от  $t$  для авиабензина,  
струяющего в квадцевом резервуаре диаметром 80 мм.  
1 — усредненные опытные данные; 2 — момент  
вхождения пламени в трубку.

и по истечении некоторого времени, разного для разных резервуаров, пламя входило в трубку, соответственно изменив свою форму (рис. 1). В узких трубках пламя было спокойным и лишь иногда медленно поворачивалось вокруг оси трубы, а в широких — пульсировало.

На рис. 2 приведена кривая, изображающая зависимость расстояния  $h$  от времени  $t$  от среза горелки до поверхности бензина. Кривая  $h(t)$  состоит из двух частей. Первая часть ( $ab$ ) показывает изменение уровня жидкости в том случае, когда пламя еще не проникло в резервуар, а вторая ( $bc$ ) — когда основание находится в горелке. При вхождении пламени в резервуар скорость сгорания заметно возрастила. В других опытах наблюдалась картина, сходная с приведенной на рис. 2.

После достижения некоторой глубины и по истечении соответственного времени пламя гасло. Эти значения  $h$  и  $t$  в последующем будем называть предельными и обозначать  $h_{\text{пр}}$  и  $t_{\text{пр}}$ .

Полученные опытные данные хорошо описываются следующим эмпирическим уравнением

$$L^m = a \tau. \quad (1)$$

где  $L = h - h_0$ ;  $\tau = t - t_0$ ;  $h_0$  и  $t_0$  — координаты точки  $b$  слома кривой  $h(t)$ ;  $a$  — коэффициент, зависящий от природы жидкости и диаметра  $d$  резервуара. Показатель степени  $m$  не зависит от величины  $d$  и для бензина оказался равным 1,25, а для изоамилового спирта — 1,1. О согласии формулы (1) с опытом можно судить по рис. 2, где кривая  $bc$  проведена по точкам, вычисленным по этой формуле.

Коэффициент  $a$ , как видно из рис. 3, закономерно растет с увеличением диаметра резервуара. Результаты экспериментов ложатся на две пересекающиеся прямые<sup>1</sup>. При  $d < 80$  мм для бензина

$$a = 4,9 \cdot 10^{-3} d^{4/3},$$

а при  $d > 80$  мм

$$a = 0,20 d^{1/2}.$$

Данные для изоамилового спирта относятся лишь к первой области и хорошо описываются формулой

$$a = 2,25 \cdot 10^{-3} d^{1,4}.$$

На рис. 4 нанесены логарифмы опытных значений  $h_{\text{пр}}$  и  $t_{\text{пр}}$ . Здесь использованы данные, полученные авторами при работе с узкими кварцевыми и стеклянными трубками, и некоторые результаты, приведенные в [1].

Как видно, опытные точки для бензина хорошо ложатся на три прямые. Оказалось, что в области  $d < 10$  мм хорошо выполняется соотношение  $h_{\text{пр}} = h_{01} \sqrt{d}$ ; в области  $10 \text{ мм} \leq d \leq 80 \text{ мм}$ ,  $h_{\text{пр}} = h_{02} d$ , а при  $d > 80 \text{ мм}$   $h_{\text{пр}} = h_{03} d^{1,6}$ .

Данные для изоамилового спирта близки к результатам, относящимся к бензину.

На пересекающиеся прямые ложатся и логарифмы опытных зна-

<sup>1</sup> Здесь использовались некоторые данные, приведенные в [1] и относящиеся к горению жидкости в резервуарах с диаметрами 300, 500 и 900 мм.

чений  $t_{\text{пр}}$ . В одной области  $t_{\text{пр}} = t_{01} d^2$ , а в другой —  $t_{\text{пр}} = t_{02} d^{3/4}$  и в третьей —  $t_{\text{пр}} = t_{03} d^{5/4}$ .

Во время опытов измерялось расстояние  $H$  от основания пламени до края резервуара. Эти измерения осложнялись пульсацией и изменением формы пламени и потому не были достаточно точными.

Расстояние от основания пламени до края резервуара возрастало с течением времени по закону

$$H^k = b \tau. \quad (2)$$

Показатель степени  $k$  для всех опытов с бензином и изоамиловым спиртом был одинаков и равен 1,33, коэффициент  $b$  для бензина —  $5,5 \cdot 10^{-3} \cdot d^{1/4}$ , а для изоамилового спирта —  $1,45 \cdot 10^{-2} \cdot d^{1/4}$ . Измерения  $H$  проводились только в опытах с резервуарами, диаметры которых лежат в пределах от 22 до 80 мм. Расстояние  $l$  от основания пламени до свободной поверхности горящей жидкости в только что указанной области увеличивалось с течением времени по линейному закону.

В двух опытах бензин сжигался в кварцевой трубке диаметром 50 мм, верхний конец которой был закрыт металлической крышкой с круглым центральным отверстием. Диаметр отверстия в одном опыте равнялся 35, а в другом — 22 мм. Слом кривой  $h(t)$  в этих опытах не наблюдался и опытные данные вполне удовлетворительно описывались уравнением

$$h^n = jt,$$

где  $t$  — время от начала горения;  $h$  — расстояние от поверхности жидкости до края горелки.

В табл. 1 приведены некоторые характеристики, относящиеся к рассматриваемым опыта. Из рассмотрения таблицы видно, что с уменьшением  $d_0$  быстро уменьшаются  $v$  и  $v_{\text{пр}}$ , а приведенные значения  $v'$  и  $v'_{\text{пр}}$  остаются постоянными. Интересно отметить, что такая же за-

Таблица 1

$d_0$	$h_{\text{пр}}$	$t_{\text{пр}}$	$v_{\text{пр}}$	$v'_{\text{пр}}$	$\bar{v}$	$\bar{v}'$	$n$	$j$
50	75	173	0,22	0,22	0,43	0,43	1,43	2,95
35	59	300	0,11	0,23	0,20	0,40	1,90	7,80
22	41	440	0,04	0,21	0,09	0,48	2,85	8,90

Приложение. Здесь  $d_0$  — диаметр отверстия;  $\bar{v}$  — средняя скорость сгорания бензина, равная  $h_{\text{пр}}/t_{\text{пр}}$ ;  $v_{\text{пр}}$  — предельная скорость (скорость выгорания перед потуханием пламени);  $v$  и  $v'$  — приведенные скорости горения, равные произведению соответственных скоростей на отношение площади отверстия  $s_0$  к площади поперечного сечения резервуара  $s$ .

кономерность наблюдалась при сгорании бензина в железобетонном резервуаре с диаметром 5300 мм [2].

Результаты, содержащиеся в табл. 1, показывают, что предельная глубина закономерно уменьшается, а предельное время увеличивается с уменьшением диаметра  $d_0$ . Приближенно

$$t_{\text{пр}} = \frac{t'_0}{d_0^{3/8}}, \quad h_{\text{пр}} = h_0 d^{0.75}.$$

Надо отметить, что зависимость  $t_{\text{пр}}$  от  $d_0$  в рассматриваемом случае очень сильно отличается от зависимости  $t_{\text{пр}}$  от диаметра резервуара.

Несколько опытов было проведено с целью выяснить, как изменяется горение жидкости при ее нагревании. Во время опытов бензин, подогреваемый спиралью, по которой протекал электрический ток, сжигался в кварцевой трубке диаметром 22 мм. Некоторые результаты этих опытов приведены в табл. 2.

Таблица 2

$W$	$h_{\text{пр}}$	$t_{\text{пр}}$	$l$	$\vartheta_t$	$\bar{v}$
0	32	108	18	60	0,30
6,2	44	177	38	80	0,25

Приложение. Здесь  $W$  — мощность нагревателя, вт;  $l$  — расстояние от пламени до жидкости в конце опыта;  $\bar{v}$  — средняя скорость выгорания;  $\vartheta_t$  — температура на поверхности жидкости в конце опыта.

При нагревании жидкости возрастало расстояние основания пламени от жидкости, увеличивались предельная глубина и предельное время горения, повышалась температура на поверхности, а средняя скорость горения почти не менялась. При  $W=8,5$  вт жидкость кипела, а пламя в горелку не входило. Если мощность нагревателя уменьшалась, то пламя начинало опускаться в трубку, а при должном увеличении  $W$  снова вытеснялось из горелки. При малых мощностях заметных изменений в протекании явления не наблюдалось.

**Обсуждение результатов.** Скорость сгорания жидкости в резервуаре определяется скоростью движения пара от жидкости и кислорода из атмосферы к пламени. Скорость движения кислорода к зоне горения, когда пламя находится в цилиндре, можно определить, используя приемы, применяемые в теории теплопередачи [3]. К нужному соотношению можно прийти следующим путем.

Допустим, что пламя имеет форму диска, перпендикулярного к оси резервуара, что концентрация кислорода  $c$  в пламени практически равна нулю и что распределение  $c$  зависит только от координаты  $x$ , направленной вдоль оси емкости. Примем, что у среза горелки  $c=c_0$  ( $c_0$  — концентрация кислорода в атмосфере). Если бы подвод кислорода к зоне горения осуществлялся молекулярной диффузией, то масса кислорода, подведенного к пламени, на основании закона Фика, определялась бы соотношением

$$dM = D \frac{c_0}{H} S dt,$$

где  $D$  — коэффициент диффузии кислорода, но

$$\frac{1}{S} \cdot \frac{dM}{dt} = \gamma \rho \frac{dh}{dt} = \gamma \rho \frac{dL}{d\tau} = \gamma \rho v.$$

Здесь  $\rho$  и  $v$  — плотность и удельная объемная скорость сгорания жидкости;  $\gamma$  — коэффициент, равный отношению массы кислорода к массе горючего, прореагировавшего с кислородом.

В том случае, когда диффузия конвективная, вместо  $D$  следует ввести коэффициент конвективной диффузии  $D_k$ . Отношение  $D_k$  к  $D$  назовем коэффициентом конвективности:

$$\epsilon_k = \frac{D_k}{D}.$$

Естественно допустить, что

$$\epsilon_k = B \left( \frac{H}{d} \right)^p Gr^q, \quad (3)$$

где  $\text{Gr}$  — критерий Грасгофа, а  $B$  — множитель, в который могут входить те или иные критерии, не зависящие от  $d$  и  $H$ .

Приняв, что

$$L \sim H^{\alpha}, \quad (4)$$

получим

$$L^m = a \tau \text{ и } H^k = b \tau, \quad (5)$$

где  $a$  и  $b$  — коэффициенты, зависящие от диаметра.

Формулы (5) идентичны с эмпирическими соотношениями (1) и (2). Из (3) и (4) следует, что

$$\frac{vH}{D} = A \left( \frac{H}{d} \right)^p \text{Gr}^q \frac{c_0}{\rho}. \quad (6)$$

Это уравнение связывает безразмерные величины. Критерий  $vH/D$  аналогичен критерию Нуссельта для массообмена. Критерий Грасгофа следует, по-видимому, определить известным соотношением  $\text{Gr} = \frac{\beta g d^3 \Delta \nu}{\nu^2}$ , иногда используемым в теории горения капель топлива [4]. Коэффициент  $A$  пропорционален коэффициенту  $B$  формулы (3).

Уравнение (6) удовлетворительно описывает все результаты, полученные при значениях показателей степеней, приведенных в табл. 3. Из таблицы видно, что в рассматриваемых случаях при переходе из области, где  $15 \text{ мм} < d \leq 80 \text{ мм}$ , в область, в которой  $d > 80 \text{ мм}$ , показатель степени  $q$  уменьшился почти вдвое. Здесь, по-видимому, имеет место картина, подобная той, которая наблюдается при конвективной теплопередаче, где с увеличением критерия  $\text{Gr}$  уменьшается показатель степени в известной формуле [3]

$$Nu = c (\text{Gr Pr})^n.$$

Зависимость коэффициента  $a$ , предельной глубины, предельного времени и показателя степени  $q$  от диаметра резервуара показывает,

Таблица 3

Определяемые величины	Изоамиловый спирт		Бензин	
	$15 \text{ мм} < d \leq 80 \text{ мм}$	$15 \text{ мм} < d \leq 80 \text{ мм}$	$d > 80 \text{ мм}$	$d > 80 \text{ мм}$
$p$	0,88	0,73	0,75	0,75
$q$	0,76	0,69	0,42	0,42

жидкости в горелку не проникает. Если диаметр  $d$  не меньше 10 и не больше 80 мм, то пламя входит в резервуар и режим горения можно считать переходным. При  $d > 80 \text{ мм}$  горение турбулентное.

Горение жидкости в резервуаре поддерживается диффузией пара от поверхности жидкости к зоне горения. Здесь заметную роль играет конвекция, а жидкость получает энергию от пламени в основном путем излучения, если  $d$  не меньше 30 мм.

Как отмечалось, горение жидкости в резервуарах, закрытых диафрагмами с различными отверстиями, подчиняется закономерностям, которые существенно отличаются от соответственных закономерностей горения в открытых резервуарах. Это вполне понятно. При наличии диафрагм условия, при которых происходит движение кислорода к пламени, мало меняются с течением времени. Поэтому скорость горения и

что при горении жидкости в резервуарах при понижении уровня горючего также, как и при горении жидкости в полных резервуарах [5, 6], имеют место три режима.

Если диаметр резервуара не превышает 10 мм, то горение ламинарное и пламя

предельные величины  $h$  и  $t$  определяются не скоростью подвода кислорода к зоне горения, а скоростью подвода энергии к горящей жидкости.

При нагревании жидкости нагревателем усиливается скорость испарения, возрастает расстояние от жидкости до пламени, понижается количество тепла, получаемого жидкостью от пламени, и самогашение пламени происходит при большей предельной глубине. Если мощность нагревателя относительно велика, то расстояние от пламени до жидкости большое и подвод тепла от пламени к жидкости мал и не играет существенной роли. В предельном случае движение пара так велико, что пламя в трубку не входит и горение происходит у среза резервуара. Скорость сгорания в последнем случае определяется скоростью подвода энергии от нагревателя к жидкости.

\* \* \*

Проведенное экспериментальное исследование и анализ полученных опытных данных позволили сделать следующие выводы. Если горючую жидкость, наполнившую резервуар, воспламенить, то вначале высота пламени понижается, уменьшается скорость выгорания жидкости. Затем основание пламени проникает в резервуар и скорость сгорания возрастает. По мере дальнейшего понижения уровня жидкости скорость сгорания закономерно уменьшается и при некотором предельном расстоянии уровня от среза горелки пламя гаснет.

Имеют место три режима горения жидкостей в резервуаре. Один — ламинарный, когда пламя не проникает в резервуар. Это наблюдается при значении диаметра  $d$ , не превышающем 10 мм; второй режим — переходный. Он имеет место при сгорании жидкостей в резервуарах с диаметром от 10 до 80 мм. Третий — турбулентный наблюдается при горении жидкостей в резервуарах с диаметром, большим 80 мм.

Установлено, что выгорание жидкости в резервуаре в том случае, когда основание пламени находится внутри емкости, подчиняется уравнению (6). Показатель степени  $q$  меняется при переходе от одного режима к другому. Полученный материал позволил заключить, что энергия от пламени к жидкости в основном передается излучением, если  $d$  не меньше 30 мм. Опыты с жидкостями, сгорающими в резервуарах, закрытых диафрагмами с центральными отверстиями, показали, что скорость сгорания в этом случае определяется скоростью подвода энергии к жидкости от пламени, а прекращение горения вызвано недостатком, а малым количеством энергии, подводимой к горючему от зоны горения.

Удалось выяснить некоторые особенности процесса горения при подводе к жидкости тепла от нагревателя, помещенного в жидкость.

*Поступила в редакцию  
19/IV 1967*

#### ЛИТЕРАТУРА

1. В. И. Блинов, Г. Н. Худяков. Диффузионное горение жидкостей. М., Изд-во АН СССР, 1961.
2. И. И. Петров, В. Ч. Рейтт. О горении жидкостей в железобетонных резервуарах. Инф. сб., ЦНИИПО, 1965.
3. М. А. Михеев. Основы теплопередачи. М., Госэнергоиздат, 1947.
4. Л. А. Клячко. Сб. «Горение двухфазных систем». М., Изд-во АН СССР, 1958.
5. В. И. Блинов. Изв. АН СССР, ОТН, 1956, 4.
6. В. И. Блинов, Г. Н. Худяков. Докл. АН СССР, 1957, 113, 5; Сб. «Некоторые вопросы горения». М., Изд-во АН СССР, 1958.